

УДК 621.396

Р.П. ВОЛОЩУК

*Национальный аэрокосмический университет им. Н.Е. Жуковского “ХАИ”, Украина***ПРОСТРАНСТВЕННО-ЧАСТОТНАЯ ОПТИМИЗАЦИЯ БИСТАТИЧЕСКИХ РЛС С СИНТЕЗИРОВАНИЕМ АПЕРТУРЫ АНТЕННЫ**

Приводится новый метод анализа бистатических систем с синтезированием апертуры антенны (РСА), основанный на вычислении ширины пространственного спектра частот отраженного от объекта сигнала и, как следствие, определении пространственной ориентации и ширины функции неопределенности по различным направлениям селекции. Определены основные задачи оптимизации по пространственным частотам. Предложены критерии оптимизации бистатических и многопозиционных РСА.

бистатическая РСА, разрешающая способность, оптимизация, критерий, ширина спектра пространственных частот, траектория, функция неопределенности

Введение

В настоящее время для решения разнообразных задач дистанционного зондирования является актуальным проектирование многопозиционных РСА. Двухпозиционная система зондирования является неотъемлемой частью многопозиционной и определяет её основные характеристики пространственной селекции. Благодаря более эффективному и полному использованию пространственно-частотной информации, получаемой при взаимном пространственном положении и движении позиций (платформ) МПРСА относительно цели, удастся значительно повысить оперативность, эффективность и точность решения требуемых задач. Но при этом повышается вычислительная и техническая сложность, что является одним из недостатков МПРСА. Так для создания высокореконфигурируемой комбинации пунктов излучения и приёма, способной решать поставленные задачи, необходимо затратить значительные вычислительные возможности, связанные с анализом пространственных функций неопределённости по различным бистатическим парам. В работе [1] предложен новый метод анализа разрешающей способности и приведён пример оптимизации области обзора МПРСА, основанный на вычислении градиентов к полям равных дельта-запаздываний и тау-

запаздываний. В данной работе приводится альтернативный метод анализа разрешающей способности, обладающий простотой и наглядностью вычислений.

Постановка задачи. Положения передатчика и приемника БРСА в пространстве в любой момент времени будет характеризоваться в прямоугольной системе координат XYZ вектором

$$\vec{p}(t) = [\vec{r}_{tr}(t), \vec{r}_r(t)]$$

(рассмотрим движение по произвольным траекториям). Объект облучения поместим в центр системы координат (рис. 1). Передатчик излучает в направлении цели импульсный зондирующий сигнал. Приемник осуществляет оптимальную обработку отраженного сигнала на интервале синтеза T_c . Допустим, точечная цель имеет комплексный коэффициент отражения равный единице, тогда выходной эффект (функция неопределённости) запишем в виде:

$$\dot{\Psi}(\Delta\vec{r}) = \int_0^{T_c} \dot{s}(t, \vec{p}(t), 0) \cdot s^*(t, \vec{p}(t), \Delta\vec{r}) dt, \quad (1)$$

где $\dot{s}(t, \vec{p}(t), 0) = \dot{S}(t, \vec{p}(t), 0) \cdot \exp jk\{R_\Sigma(\vec{r}_{tr}(t), \vec{r}_r(t), 0)\}$ – траекторный единичный сигнал (сигнал, отраженный от точки с координатами $(0,0,0)$), $\dot{S}(t, \vec{p}(t), 0)$ – комплексная огибающая единичного сигнала (включающая модуляцию диаграммой направленности),

$R_{\Sigma}(\vec{r}_{tr}(t), \vec{r}_r(t)) = R_{tr}(\vec{r}_{tr}(t)) + R_r(\vec{r}_r(t))$ – суммарное расстояние: передатчик – точка поверхности – приёмник;

$k = 2\pi/\lambda$ – волновое число;

$s^*(t, \vec{p}(t), \Delta\vec{r}) = \dot{S}^*(t, \vec{p}(t), \Delta\vec{r}) \times \exp jk \{-R_{\Sigma}(\vec{r}_{tr}(t), \vec{r}_r(t), \Delta\vec{r})\}$ – опорный сигнал приёмника, комплексно сопряжённый принятому сигналу.

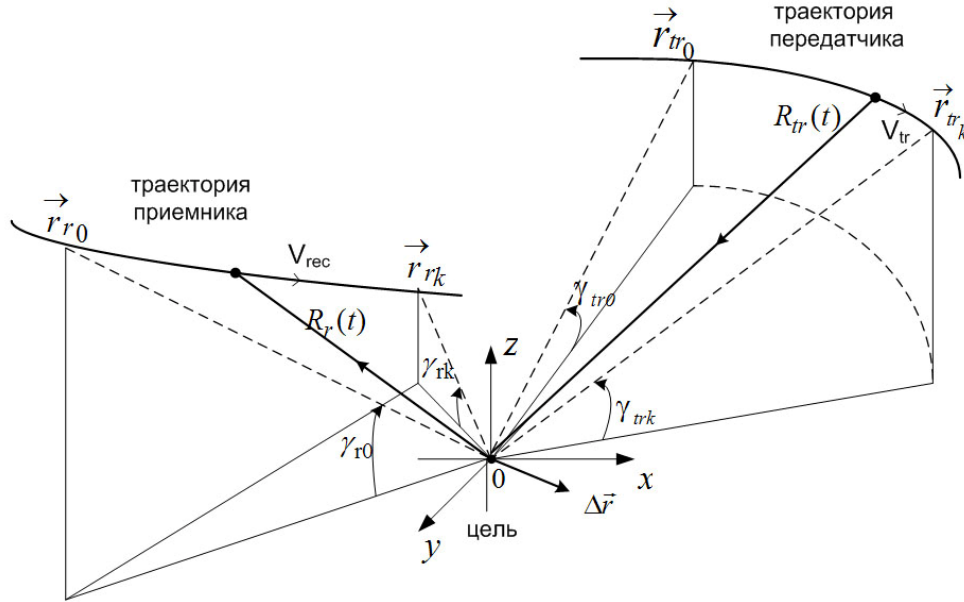


Рис. 1. Геометрия задачи

Цель работы: разработать новый метод анализа и оптимизации бистатической РСА, определить критерии оптимизации.

Решение задачи

Таким образом, БРСА обладает селекцией во всех направлениях в пространстве. Степень селекции (разрешающая способность) определяется длиной вектора $\Delta\vec{r}$, при которой уровень выходного сигнала (1) падает до 0,7. В дальнейшем будем полагать, что расстояния от носителей до цели на много превышают значения компонент вектора $\Delta\vec{r} = (\Delta x, \Delta y, \Delta z)$. Выражение под экспонентой в (1) назовём фазовой функцией. Разложим фазовую функцию в ряд в окрестности точки $\Delta\vec{r}$ и ограничимся линейными членами. Т.е. допустим, что оптимальная система обработки согласована по степеням фазовой функции большим 2 или приёмник и передатчик находятся в дальней зоне. Рассмотрим разрешающую способность в плоскости XOY ($\Delta z = 0$).

$$f(\vec{r}_{tr}(t), \vec{r}_r(t), \Delta\vec{r}) = k[R_{tr}(\vec{r}_{tr}(t), 0) - R_{tr}(\vec{r}_{tr}(t), \Delta\vec{r}) + R_r(\vec{r}_r(t), 0) - R_r(\vec{r}_r(t), \Delta\vec{r})] \approx k \left[\frac{x_{tr}(t) \cdot \Delta x}{R_{tr}(\vec{r}_{tr}(t), 0)} + \frac{y_{tr}(t) \cdot \Delta y}{R_{tr}(\vec{r}_{tr}(t), 0)} + \frac{x_r(t) \cdot \Delta x}{R_r(\vec{r}_r(t), 0)} + \frac{y_r(t) \cdot \Delta y}{R_r(\vec{r}_r(t), 0)} \right] = f_{tr}(t) + f_r(t). \quad (2)$$

Тогда операцию оптимальной обработки отраженных сигналов можно рассматривать как преобразование Фурье от пространственного спектра частот [2, 3]:

$$\dot{\Psi}(\Delta\vec{r}) = \int_{f_{x \min}}^{f_{x \max}} \int_{f_{y \min}}^{f_{y \max}} \left| \dot{H}[f(\Delta\vec{r})] \right|^2 \times \exp(j \cdot f(\Delta\vec{r})) d\omega_y d\omega_x, \quad (3)$$

где $\left| \dot{H}[f(\Delta\vec{r})] \right|^2$ – квадрат модуля пространственного спектра, ограниченного частотами $f_{x \min} \dots f_{x \max}, f_{y \min} \dots f_{y \max}$.

В случае, когда в выражении для суммарного расстояния нельзя пренебрегать членами выше линейного, оптимальная обработка сводится к более сложным преобразованиям.

Выражение (3) можно рассматривать с точки зрения общей теории спектрального анализа. Здесь интегрирование производится по пространственным частотам, результат которого – двумерная функция пространственных координат $\dot{\Psi}(\Delta x, \Delta y)$, модуль которой и определяет селективные свойства системы. При этом ширина выходной функции (разрешающая способность) будет зависеть от ширины пространственного спектра $\left| H[f(\Delta \vec{r})] \right|$, форма которого в основном определяет форму функции неопределённости (уровень боковых лепестков) [2].

Таким образом, разрешающая способность бистатической РСА будет зависеть от ширины пространственного спектра частот, формирующегося вследствие движения передатчика и приёмника относительно объекта наблюдения (доплеровского спектра) (4), и от ширины спектра зондирующего сигнала и модуляции диаграммой направленности.

$$\delta\rho(\Delta\vec{r}) = \frac{2\pi}{\Delta f(\Delta\vec{r})} \quad (4)$$

где $\Delta f(\Delta\vec{r}) = |f_{\max}(\Delta\vec{r}) - f_{\min}(\Delta\vec{r})|$ – ширина спектра частот в координатах $\Delta\vec{r} = (\Delta x, \Delta y)$.

В случае монотонности фазовой функции (2) ширину спектра можно определять как модуль разности её значений в начальный и конечный моменты синтезирования.

$$\begin{aligned} \Delta f(\Delta\vec{r}) &= |f(\vec{r}_{trk}, \vec{r}_{rk}, \Delta\vec{r}) - f(\vec{r}_{tr0}, \vec{r}_{r0}, \Delta\vec{r})| = \\ &= |f_k(\Delta\vec{r}) - f_0(\Delta\vec{r})| \end{aligned} \quad (5)$$

Представим элемент разрешения в полярных координатах $\Delta x = \rho \cdot \cos \alpha$, $\Delta y = \rho \cdot \sin \alpha$, а значения фазовой функции заменим тригонометрическими функциями от углов, определяющих положение носителей в пространстве относительно цели (рис. 1, 2).

$$\begin{aligned} f(\rho, \alpha, t) &= \rho \cdot k \{ \cos \gamma_{tr}(t) \sin[\beta_{tr}(t) + \alpha] + \\ &+ \cos \gamma_r(t) \sin[\beta_r(t) + \alpha] \} = f_{tr}(\rho, \alpha, t) + f_r(\rho, \alpha, t); \end{aligned} \quad (6)$$

$$\begin{aligned} \Delta f(\rho, \alpha) &= \rho \cdot k \{ \cos \gamma_{trk} \sin(\beta_{trk} + \alpha) - \\ &- \cos \gamma_{tr0} \sin(\beta_{tr0} + \alpha) + \cos \gamma_{rk} \sin(\beta_{rk} + \alpha) - \\ &- \cos \gamma_{r0} \sin(\beta_{r0} + \alpha) \}; \end{aligned} \quad (7)$$

$$\begin{aligned} \Delta f(\rho, \alpha) &= \rho \cdot k \left\{ 2 \cos \gamma_{tr0} \sin \frac{\Delta\beta_{tr}}{2} \cos(\alpha + \beta_{trH}) - \right. \\ &- \sin(\alpha + \beta_{trk}) \cdot \left(\sin \gamma_{tr0} \sin \Delta\gamma_{tr} + \cos \gamma_{tr0} \cdot \frac{\Delta\gamma_{tr}^2}{2} \right) + \\ &+ 2 \cos \gamma_{r0} \sin \frac{\Delta\beta_r}{2} \cos(\alpha + \beta_{rH}) - \\ &\left. - \sin(\alpha + \beta_{rk}) \cdot \left(\sin \gamma_{r0} \sin \Delta\gamma_r + \cos \gamma_{r0} \cdot \frac{\Delta\gamma_r^2}{2} \right) \right\}, \end{aligned} \quad (8)$$

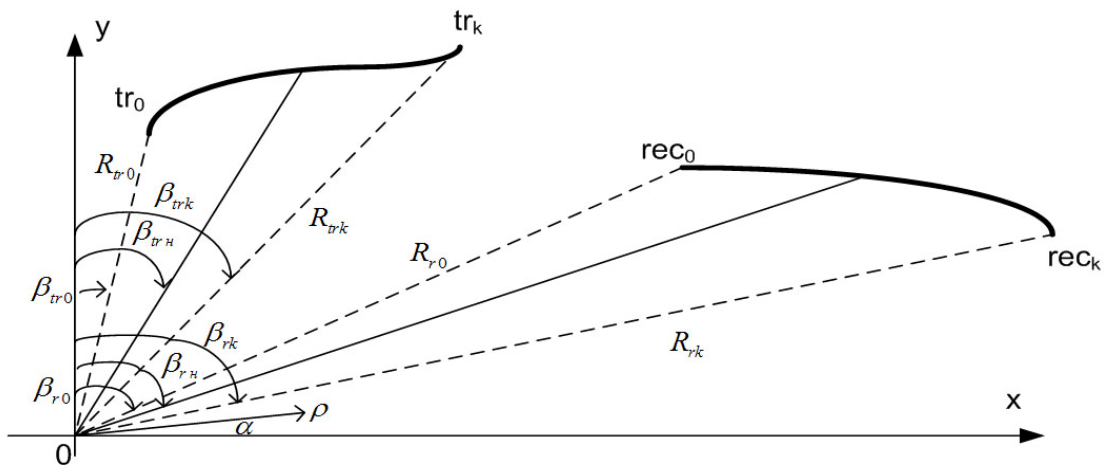


Рис. 2. Проекции траекторий на плоскость XOY

где $\Delta\gamma_{tr} = \gamma_{trk} - \gamma_{tr0}$, $\Delta\gamma_r = \gamma_{rk} - \gamma_{r0}$ – разница между углами возвышения носителей в начальный и конечный моменты синтезирования;

$\Delta\beta_{tr} = \beta_{trk} - \beta_{tr0}$, $\Delta\beta_r = \beta_{rk} - \beta_{r0}$ – угловые размеры траекторий;

β_{tr_n} , β_{r_n} – углы наблюдения передатчика и приёмника, они определяются как направления между объектом наблюдения и точкой на траектории, соответствующей половине интервала синтезирования.

Исходя из условия прямолинейного равномерного движения носителей, углы наблюдения делят траектории передатчика и приемника пополам.

При выводе формулы (8) полагалось, что за время синтезирования значения $\Delta\gamma_{tr}$ и $\Delta\gamma_r$ изменяются незначительно и прямолинейно.

Представление фазовой функции в виде тригонометрических функций позволяет наглядно определить потенциальные возможности бистатической РСА и условия, при которых их можно получить. Например, наилучшее разрешение $\lambda/2$ получается при движении носителей по замкнутым круговым траекториям [4].

Используя формулу (4), можно определить разрешение в любом необходимом направлении α . Особый интерес представляют направления наиболее медленного и наиболее быстрого возрастания фазовой функции (6) – её экстремумы и точки перегиба, где будем наблюдать наихудшую и наилучшую разрешающую способность. В этих направлениях ширина пространственного спектра (8) будет иметь наименьшее и наибольшее значение соответственно.

Чтобы найти направления наилучшего разрешения α_{grad} , необходимо решить уравнение (10):

$$\delta\rho_{min} = \frac{2\pi}{\Delta f_{max}(\rho, \alpha_{grad})}, \quad (9)$$

$$F(\alpha_{grad}) = \frac{\partial(\Delta f(\alpha))}{\partial\alpha} = 0. \quad (10)$$

Проводя аналогию с методом градиентной оптимизации, можно отметить, что направления наилучшего разрешения соответствуют градиентам к полям равных дельта запаздываний.

Направления наихудшего и наилучшего разрешения, определённого по формуле (10), перпендикулярны.

$$\delta\rho_{max} = \frac{2\pi}{\Delta f_{min}\left[\rho, \alpha_{grad} + \frac{\pi}{2}\right]}. \quad (11)$$

Разрешающую способность, обусловленную шириной спектра огибающей зондирующего сигнала (по дальности), определим на плоскости XOY (рис. 3). Рассмотрим прямоугольный импульсный сигнал с длительностью импульса τ_i (в пространстве $\Delta r = c\tau_i$), который имеет функцию неопределенности в виде треугольника:

$$\Psi_{зонд}(\alpha) = 1 - \frac{|\Delta R_n(\alpha)|}{\Delta r} \quad \text{при } |\Delta R_n(\alpha)| \leq \Delta r;$$

$$\Psi_{зонд}(\alpha) = 0 \quad \text{при } |\Delta R_n(\alpha)| > \Delta r, \quad (12)$$

где $R_{n\Sigma}(\alpha) = \cos\gamma_{tr_n} \cdot \sin(\alpha + \beta_{tr_n}) + \cos\gamma_{r_n} \cdot \sin(\alpha + \beta_{r_n})$ – разность расстояний от точки с координатами (0,0,0) и $(\rho\cos\alpha, \rho\sin\alpha, 0)$, разложенная в ряд в момент времени, соответствующий направлению наблюдения.

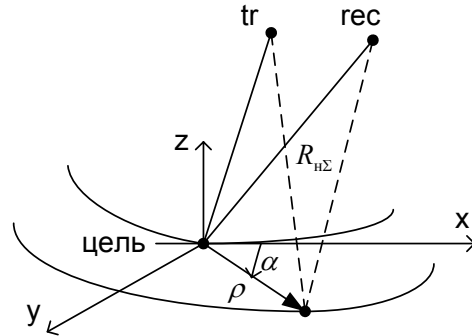


Рис. 3. Определение разрешения по времени задержки огибающей сигнала

Разрешающая способность в направлении α , обусловленная шириной спектра огибающей зондирующего сигнала, будет определяться длиной вектора ρ , при котором выходной сигнал (12) падает до уровня 0,7, т.е.:

$$\delta\rho_{\tau}(\alpha) = \frac{\Delta r - 0,7\Delta r}{|\Delta R_H(\alpha)|}. \quad (13)$$

Можно определить направление α , где разрешающая способность наилучшая и наихудшая:

$$\delta\rho_{\tau \min} = \frac{0,3\Delta r}{|\Delta R_H(\alpha_{grad})|}; \quad (14)$$

$$F_{\tau}(\alpha_{grad}) = \frac{\partial R_{H\Sigma}(\alpha)}{\partial \alpha} = 0. \quad (15)$$

Градиенты к линиям равных тау-запаздываний соответствуют направлениям α_{grad} , где разрешающая способность по времени задержки принимает наименьшее значение (15). Направления наихудшего и наилучшего разрешения по времени задержки огибающей также перпендикулярны:

$$\delta\rho_{\tau \max} = \frac{0,3\Delta r}{\left| \Delta R_H \left(\alpha_{grad} + \frac{\pi}{2} \right) \right|}. \quad (16)$$

Таким образом, выражения (13), (4) однозначно определяют разрешающую способность по времени задержки и дельта-времени задержки сигнала в любом направлении α .

Можно выделить *две задачи пространственно-частотной оптимизации бистатической РСА*:

- оптимизация зоны обзора бистатической РСА при фиксированных траекториях;
- оптимизация траекторий передатчика и приёмника и их пространственного положения относительно цели при заданной зоне обзора.

Критерием оптимизации могут быть необходимые значения разрешающей способности в любом выбранном направлении α .

Если необходимо обеспечить наилучшее разрешение не хуже заданного (по направлению наиболее быстрого возрастания фазовой функции и/или направлению наибольшего изменения времени задержки), можно использовать следующий критерий (17) и/или (19), т.е. нужно обеспечить необходимый набег пространственной частоты (18) и/или выполнить условие (19):

$$\delta\rho_{\min} = \frac{2\pi}{\Delta f_{\max}(\alpha_{grad}, \vec{r}_{trk}, \vec{r}_{tr0}, \vec{r}_{rk}, \vec{r}_{r0}, \vec{r})} \leq P_{задан}, \quad (17)$$

$$\Delta f_{\max}(\alpha_{grad}, \vec{r}_{trk}, \vec{r}_{tr0}, \vec{r}_{rk}, \vec{r}_{r0}, \vec{r}) \geq \frac{2\pi}{P_{задан}}, \quad r \in D, \quad (18)$$

$$\delta\rho_{\tau \min} = \frac{0,3c\tau_u}{|\Delta R_H(\alpha_{grad}, \vec{r}_{trk}, \vec{r}_{tr0}, \vec{r}_{rk}, \vec{r}_{r0}, \vec{r})|} \leq P_{задан} \quad r \in D. \quad (19)$$

Выполнение условий (17 – 19) в относительно большой области обзора D возможно при усреднении вышеперечисленных критериев в пределах пересечения следов диаграмм направленности:

$$\int_D \frac{2\pi}{\Delta f_{\max}(\alpha_{grad}, \vec{r}_{trk}, \vec{r}_{tr0}, \vec{r}_{rk}, \vec{r}_{r0}, \vec{r})} dr \leq P_{задан},$$

$$\int_D \frac{0,3c\tau_u}{|\Delta R_H(\alpha_{grad}, \vec{r}_{trk}, \vec{r}_{tr0}, \vec{r}_{rk}, \vec{r}_{r0}, \vec{r})|} dr \leq P_{задан}.$$

Если необходимо одновременно обеспечить наилучшее разрешение по времени задержки и частоте Доплера (наибольшего возрастания фазовой функции), к условиям (17 – 19) можно применять операцию логического умножения:

$$\left[\frac{2\pi}{\Delta f_{\max}(\alpha_{grad})} \right] \geq P_{задан} \ \& \ \left[\frac{0,3c\tau_u}{|\Delta R_H(\alpha_{grad})|} \right] \geq P_{задан}. \quad (20)$$

В некоторых задачах необходимо знать угол между направлениями наиболее быстрого возрастания фазовой функции и времени задержки огибающей (для обеспечения равномерной области разрешения).

Угол между направлениями можно найти как разницу между значениями решения уравнений (10) и (15):

$$\Delta\alpha_{grad} = F(\alpha_{grad}) - F_{\tau}(\alpha_{grad}) \in P_0,$$

$$\int_D (F(\alpha_{grad}) - F_{\tau}(\alpha_{grad})) dr \in P_0. \quad (21)$$

Если критериями оптимизации одновременно служит разрешение по направлению наибольшей ширины пространственного спектра и наиболее быстрого возрастания времени задержки и угол между этими направлениями, то необходимо использовать условия:

$$\left\{ \begin{array}{l} F(\alpha_{grad}) - F_{\tau}(\alpha_{grad}) \in P_0; \\ \frac{2\pi}{\Delta f_{max}(\alpha_{grad})} \geq P1_{задан}; \\ \frac{0,3c\tau_u}{|\Delta R_n(\alpha_{grad})|} \geq P2_{задан}; \end{array} \right. \quad (22)$$

$$\left\{ \begin{array}{l} \int_D (F(\alpha_{grad}) - F_{\tau}(\alpha_{grad})) dr \in P_0; \\ \int_D \frac{2\pi}{\Delta f_{max}(\alpha_{grad})} dr \leq P_{задан}; \\ \int_D \frac{0,3c\tau_u}{|\Delta R_n(\alpha_{grad})|} dr \leq P_{задан}. \end{array} \right. \quad (23)$$

Необходимо отметить, что критерием оптимизации могут быть не только разрешающая способность в направлениях α_{grad} , но и в любых других направлениях α области неопределенности. Для этого нет необходимости решать уравнения (10, 15), а в формулах (9 – 23) нужно подставлять просто значения α .

При дистанционном зондировании поверхностями радиолокационными системами обычно применяются периодические последовательности импульсов. Именно такие сигналы позволяют достичь высокой разрешающей способности по дальности и азимуту одновременно. Однако, применение периодических сигналов приводит к неоднозначности измерений в РСА в дальномерной и азимутальной плоскостях. Интервалы неоднозначности находятся в противоречии: при увеличении частоты повторения импульсов, увеличивается интервал однозначности измерений по азимуту и уменьшается по дальности.

Для удовлетворения требований однозначности необходимо варьировать частоту повторения, размер реальной апертуры антенны и время синтеза [1]. Использование периодических сигналов в РСА приводит к тому, что функция неопределенности становится повторяющейся по направлению наибольшей крутизны фазовой функции α_{grad} . В

общем случае условие однозначности измерений в этом направлении обеспечивается так, чтобы на один период доплеровской частоты приходилось как минимум два периода повторения импульсов:

$$\Delta f_{max}(\alpha_{grad}) \leq \frac{1}{2 \cdot T_n}. \quad (24)$$

Предварительно для расчета минимальных размеров реальной апертуры приемной антенны в направлении движения L можно использовать оценочную формулу $L \geq (|V_{tr}| + |V_r|) \cdot T_n$, где $|V_{tr}|$, $|V_r|$ – модуль вектора скорости передатчика и приемника [1].

Неоднозначность измерения времени задержки обусловлена периодическим сигналом. При этом для бистатической системы максимальный интервал однозначного измерения времени задержки отраженного сигнала, который находится в пределах одного периода повторения импульсов, определяется выражением:

$$\frac{|\Delta R_{nmax}(\alpha_{grad})| + \Delta r}{c} \leq T_n, \quad (25)$$

где $|\Delta R_{nmax}(\alpha_{grad})|/c$ – максимальное значение времени задержки в направлении наилучшего разрешения по дальности.

Отметим, что неоднозначность измерений задержки в бистатической РСА может возникнуть даже при выполнении условия (25), так как сигналы, отраженные от различных точек поверхности, могут иметь одинаковое время задержки [1].

Таким образом, обеспечить однозначность измерений задержки сигналов и частоты Доплера в бистатической системе можно путём варьирования пространственной конфигурации системы, выбора обзора, варьирования размеров апертур приемника и передатчика, скорости, времени синтеза, а также путем изменения ориентации диаграмм направленности.

Предложенный выше метод позволяет достаточно просто исследовать одну из наиболее важ-

ных характеристик селекции, разрешающую способность, без построения функций неопределенности. Позволяет оценить ориентацию функции неопределенности, не требуя достаточно объемных вычислений.

Сравнивая пространственно-частотный метод с методом градиентного анализа, можно отметить его наглядность и простоту. Для определения пространственной частоты достаточно знать угловые положения приемника и передатчика относительно цели в начальный и конечный моменты синтезирования при монотонной фазовой функции.

Выводы

Таким образом, в работе исследована геометрия бистатической системы. Особое внимание уделено траекториям движения передатчика и приемника. Введено понятие фазовой функции и пространственного спектра как функции от пространственных координат взаимного расположения передатчика, приемника и цели. Показано, что спектр пространственных частот можно выразить через угловые положения элементов системы относительно объекта наблюдения и разрешающая способность будет зависеть от ширины этого спектра. Новый метод исследования разрешающей способности бистатических систем основан на анализе структуры полезного сигнала и отличается своей наглядностью и простотой вычислений, позволяет оценить вид пространственной функции неопределенности не применяя сложных вычислений.

Необходимо отметить, что предложенный метод можно расширить на многопозиционные системы.

Для этого необходимо выполнять исследования и оптимизацию по всем бистатическим парам в зависимости от задач системы.

Предложенный метод можно применять для решения задачи построения траекторных карт полёта передатчика и приемника бистатической РСА.

Литература

1. Волосюк В.К., Кравченко В.Ф., Ксендзук А.В., Кутуза Б.Г. Градиентная оптимизация многопозиционных радиолокационных систем с синтезированием апертуры антенны // Электромагнитные волны и электронные системы. – 2007. – №1, т.12. – С. 40-49.
2. Реутов А.П., Михайлов Б.А., Кондратенков Г.С., Бойко Б.В. Радиолокационные станции бокового обзора / Под. ред. А.П. Реутова. – М.: Сов. радио, 1970. – 360 с.
3. Волосюк В.К., Ксендзук А.В., Волощук Р.П. Общие закономерности селекции целей в бистатической радиотехнической системе с синтезированием апертуры антенны // Авиационно-космическая техника и технология. – 2006. – № 5(31). – С. 64-67.
4. Voloschuk R.P., Bogoroditskiy E.A. A potential of the bistatic SAR for aviation and space deployment // 6th International Conference on Antenna Theory and Techniques (ICATT), 17-21 September, 2007, Sevastopol, Ukraine. – P.309.

Поступила в редакцию 30.08.2007

Рецензент: д-р техн. наук, проф. В.К. Волосюк, Национальный аэрокосмический университет им. Н.Е. Жуковского “ХАИ”, Харьков.